53. Derivate des 5,9-Methano-6,7,8,9-tetrahydro-5*H*-benzocycloheptens und Umlagerungen zum 1,4-Äthano-1,2,3,4-tetrahydronaphthalin-System

von André P. Stoll, Hans-Rudolf Loosli, Peter Niklaus und Therese Zardin-Tartaglia Sandoz AG, Pharma-Department, Chemische Forschung, CH-4002 Basel

(3.XII.76)

Derivatives of 5,9-Methano-6,7,8,9-tetrahydro-5*H*-benzocycloheptene and Rearrangements to the 1,4-Ethano-1,2,3,4-tetrahydronaphthalene System

Summary

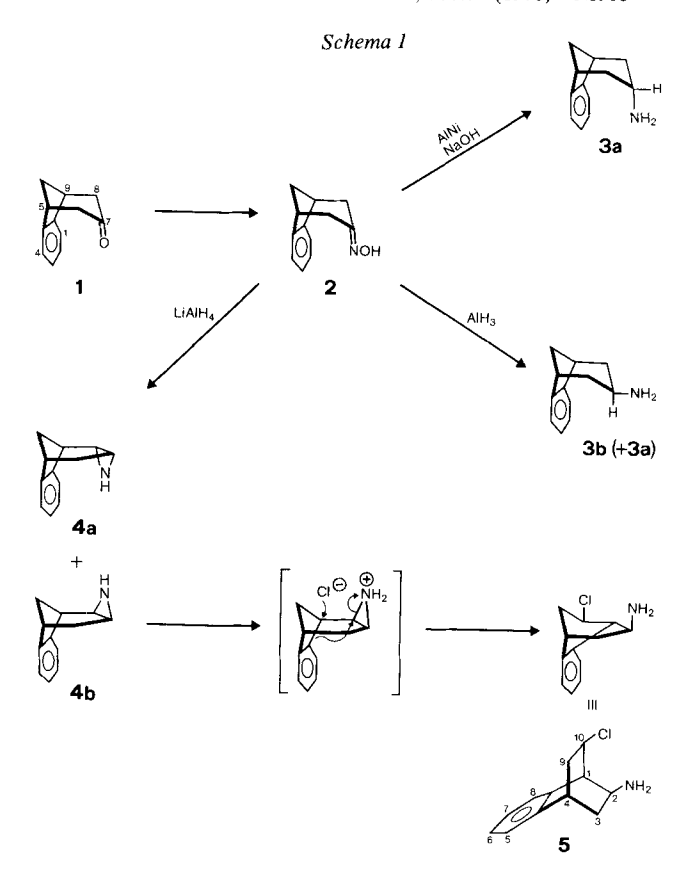
Reduction of the oxime 2 with Raney alloy gives the amine 3a, with AlH₃ a mixture of the isomeric amines 3a and 3b, whilst LiAlH₄ yields the aziridines 4a and 4b. The bicyclo[3.2.1]octane 4b rearranges under acidic conditions to the bicyclo[2.2.2]octane 5. The olefin 7 can be converted to the aminoalcohol 9 via the epoxide 8 and to the amine 13 using iodine isocyanate: the carbon skeletoremains intact. However, treatment of the olefin 17 with iodine isocyanate leads to the bicyclo[2.2.2]octanes 21 and 24 in which a skeletal rearrangement has taken place. The configuration was determined by NMR, and X-ray analysis.

Ausgehend vom leicht zugänglichen Keton 1 [1] bildet sich über das Oxim 2 mit Hilfe von Raney-Legierung unter alkalischen Bedingungen regioselektiv das endo-Amin 3a, hingegen mit Aluminiumhydrid ein Isomerengemisch 3a/3b im Verhältnis 1:1 (Schema 1). Mittels der NMR.-Signale kann die Konfiguration dieser beiden Amine leicht abgeklärt werden. Die Lage der Aminprotonen in 3a bei sehr hohem Feld ($\delta = 0,3$, CDCl₃) ist der Anisotropie des Benzolrings zuzuschreiben¹). Die chemische Verschiebung ($\delta = 3,1$) des H-C(7) jedoch ist normal. Daraus schliessen wir, dass die Aminogruppe endo steht. Die NMR.-Daten von 3b (NH₂ bei 2,15, H-C(7) bei 2,0-2,5) zeigen, dass dieser Verbindung die exo-Struktur zukommt.

Wird das Oxim 2 mit Lithiumaluminiumhydrid reduziert, so bildet sich ein Gemisch der isomeren Aziridine 4a (endo) und 4b (exo) [3]. Kurzes Erwärmen von 4b in 4n HCl führt in 50% Ausbeute zu einem chlorierten Umlagerungsprodukt 5, dessen Struktur mit Hilfe der NMR.-Daten abgeklärt wurde. Es zeigte sich, dass 5 nicht mehr das Bicyclo [3.2.1]octan-Gerüst, sondern das Bicyclo [2.2.2]octan-Gerüst besitzt.

Beim [3.2.1]-Gerüst ist der Cyclohexanring so deformiert, dass die Brückenkopfprotonen praktisch nicht mehr mit dem axialen Proton der Methanobrücke

¹⁾ Im gleichen Ringsystem wurde dieser Effekt schon von Shapiro et al. [2] beschrieben.



koppeln. Das NMR.-Signal dieses Protons zeigt nur noch die geminale Kopplung (z. B. d bei $\delta=2,0$ bei 1 (Fig. 1)). Im Gegensatz dazu koppeln beim [2.2.2]-Gerüst die Brückenkopfprotonen mit allen vicinalen Protonen etwa gleich stark (J=2-3 Hz). Ohne vicinale Substituenten ist das Signal des Brückenkopfprotons ein Quintuplett, bei zwei vicinalen Substituenten ein Triplett. Solche Signale sind im Spektrum von 5 mit den passenden Linienintensitäten vorhanden. Die Weitbereichskopplung $J_{\rm H-C(2)/H-C(10)}$ von 2-3 Hz bei 5 ist typisch für ebene W-Anordnung der Bindungen zwischen diesen Protonen²). Die Amino- und Chlorsubstituenten sind daher $anti^3$) zum Benzolring und vicinal zum Brückenkopfproton $\rm H-C(1)$ (vgl. Fig. 2).

Folgender Mechanismus (Schema 1) wird für die Bildung von 5 vorgeschlagen: Das protonierte Aziridin 4b wird durch ein Chloridion von der exo-Seite angegriffen, wobei die Phenylbindung von C(9) zu C(8) wandert und sich der Aziridin-

Wie Vergleichswerte zeigen [4] [5], wird die Kopplung offenbar durch die π-Elektronen des Benzolrings verstärkt. Man findet sie auch zwischen den syn-, nicht aber den anti-Protonen an C(3) und C(9) (vgl. exper. Teil).

³⁾ Syn und anti bezeichnen in dieser Arbeit die Stellung zum Benzolring.

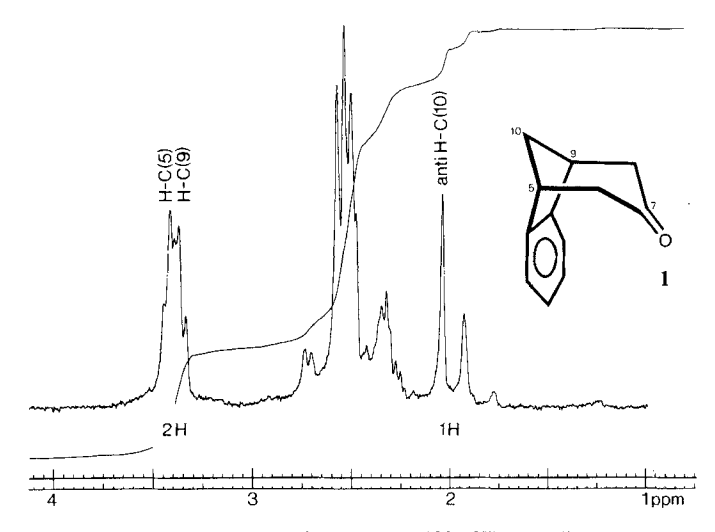


Fig. 1. NMR.-Spektrum von 1 (100 MHz, CDCl₃)

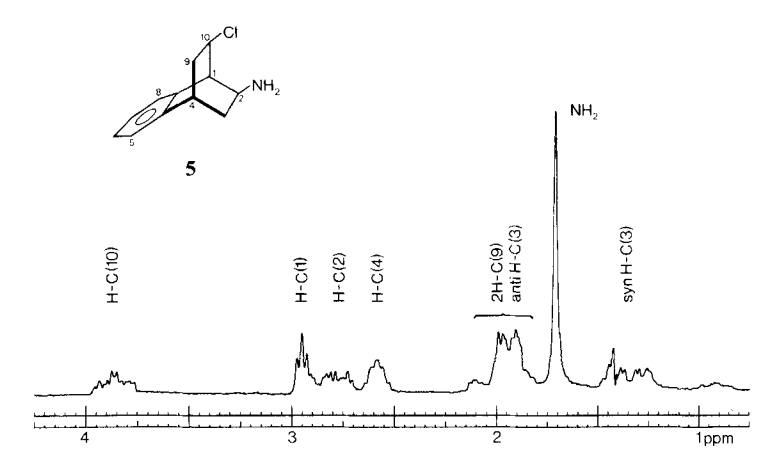


Fig. 2. NMR.-Spektrum von 5 (100 MHz, in C₆D₆/CDCl₃ 4:1)

ring öffnet. Umlagerungen des Bicyclo [3.2.1]octan-Systems in das [2.2.2]-Ringgerüst wurden schon von *Lansbury et al.* [6], *Christol et al.* [7] und *Bobyleva et al.* [8] beschrieben.

Die Umsetzung des Ketons 1 mit Phenylmagnesiumbromid führt zum endo-Alkohol 6 (siehe Schema 2). Die NMR.-Daten (OH bei $\delta=1,1$ in CDCl₃) zeigen, dass der Angriff des Phenylrestes von der weniger gehinderten exo-Seite erfolgt. Wasserabspaltung unter sauren Bedingungen führt zu 7, nachfolgende Behandlung mit Peressigsäure zum Epoxid 8 und Erhitzen mit Methylamin zum Aminoalkohol 9. Die angegebene Struktur von 9 wurde anhand folgender Merkmale des NMR.-Spektrums (in CDCl₃) der Acetylverbindung 10 aufgestellt: 1) das NH-Signal ($\delta=-0.3$) und das CH₃N-Signal ($\delta=1.5$) erscheinen bei sehr hohem Feld,

bedingt durch die magnetische Anisotropie des Benzolrings A; 2) die Kopplungskonstante $J_{H-C(5),H-C(6)}$ beträgt 4 Hz und die zwei Protonen bilden demnach (nach Karplus) einen Diederwinkel von 40-50°. Daher muss sich die Amino-Gruppe in 7-endo- und der O-Acetylrest in 6-exo-Stellung befinden. Demzufolge ist der Oxiranring in 8 exo angeordnet, und die Öffnung zu 9 folgt der Fürst-Plattner-Regel [9].

Bei der Umsetzung von 7 mit Jodisocyanat nach *Hassner* [10] werden I⁺ und NCO⁻ an die Doppelbindung *trans* addiert, wobei 11 als Zwischenprodukt anzunehmen ist. Erwärmen mit Äthanol ergibt das Urethan 12, dessen Entstehung mit einer *trans*-diaxialen Eliminierung von Jodwasserstoffsäure und Anlagerung von Äthanol erklärt werden kann. Durch Verseifung von 12 erhält man das Amin 13, das in Anwesenheit von Aceton bei kurzer Hydrierdauer in ein Gemisch von ungesättigtem 14 (30%) und von hydriertem 15 (11%) übergeführt wird. Die Herleitung der Strukturen 12 bis 15 aus den NMR.-Spektren, auch mittels Europium-Verschiebungsreagentien, schien uns nicht hinreichend sicher, weshalb eine Röntgenstrukturanalyse von 15 durchgeführt wurde [11]. Diese bestätigt die *endo*-Stellung des Phenylsubstituenten und die *exo*-Stellung der Isopropylamino-Gruppe am 5,9-Methano-6,7,8,9-tetrahydro-5*H*-benzocyclohepten-Gerüst. Der Substituent an C(8) von 12, 13 und 14 muss demnach ebenfalls die *exo*-Konfiguration aufweisen.

Einen unerwarteten Verlauf nimmt die *Hassner*-Reaktion mit dem Olefin 17, dessen Doppelbindung im Gegensatz zu derjenigen von 7 nicht durch eine Phenylgruppe substituiert ist (siehe *Schema 3*). 17 wird leicht aus dem Isomerengemisch 16 [6] durch Wasserabspaltung bei 240° in Hexamethylphosphortriamid

Schema 3

(HMPT) gebildet. Umsatz von 17 mit Jodisocyanat und nachfolgendes Erwärmen mit Äthanol führt zu einem Gemisch von 21 (14%) und 24 (47%). Zur Vereinfachung der NMR.-Spektren wurde 24 zu 25 verseift und dessen Spektren analysiert. Die Spektren von 21 und 25 zeigen die gleichen Spinaufspaltungen der Brückenkopfprotonen wie 5; hingegen fehlt die bei 5 vorhandene Weitbereichskopplung zwischen H-C(2) und H-C(10). 21, 24 und 25 besitzen demnach das gleiche Ringgerüst wie 5 und sind, wie die übrigen Spinkopplungen (siehe exper. Teil) zeigen, an den gleichen Kohlenstoffatomen substituiert. Es können aber nicht beide Substituenten anti-ständig sein. Für 25 folgt dies schon deshalb, weil alle am Bicyclo [2.2.2]octangerüst sitzenden Protonen verschiedene chemische Verschiebungen haben: die Molekel ist asymmetrisch.

Die syn-Protonen an den unsubstituierten Atomen C(3) und C(9) sind durch die zwischen ihnen bestehende Weitbereichskopplung im Spektrum gleichsam «markiert»; dies erleichtert die Bestimmung der Konfiguration. Bei 21 folgt die Zuordnung des Signals bei δ =4,7 zum H-C(2) aus der grossen chemischen Verschiebung sowie der (in (CD₃)₂SO) beobachteten Kopplung mit dem NH-Proton. Die anti-Stellung des derart als H-C(2) definierten Protons ergibt sich aus den folgenden vicinalen Kopplungen: J_{trans} =4,3 Hz mit einem durch die Weitbereichskopplung als syn ausgewiesenen Proton (δ =1,15, H-C(3)), und J_{cis} =10 Hz mit dem anti-Proton (δ =2,52, H-C(3)).

Die Protonenzuordnung im Zweig C(9)-C(10) erfolgt analog. Bei 25, mit zwei identischen Substituenten, genügt die Kenntnis der Kopplungen (siehe exper. Teil) zwischen den am Gerüst sitzenden Protonen für eine eindeutige Zuordnung und

Schema 4

Konfigurationsbestimmung. Beides wird überdies bestätigt durch die chemischen Verschiebungen; Vergleichswerte hat Fay et al. [12] veröffentlicht.

Das aus den NMR.-Daten abgeleitete Ringgerüst und die Stellung der Äthoxycarbonylamingruppe von 21 werden durch die Umwandlung über das Urethan 26 in das Methylaminderivat 27 bestätigt, dessen Struktur und Konfiguration kürzlich durch Arbeiten von Kitahonoki et al. [13] und von Grunewald et al. [14] sichergestellt worden ist⁴).

Offensichtlich findet bei der Hassner-Reaktion von 17 eine Umlagerung zu 21 und 24 statt, die an jene von 4b zu 5 erinnert. Folgender Mechanismus kann dafür formuliert werden. Das Jodkation greift die Doppelbindung in 17 von der weniger gehinderten exo-Seite an, wobei sich das entstehende Kation 18 zum Bicyclo [2.2.2]octan-Kation 19 umlagert. Angriff dieses Kations durch Isocyanat führt zum Isomerengemisch 20 und 22. Unter den Reaktionsbedingungen wird bei 22 das Jodatom durch einen weiteren Isocyanatrest ersetzt, was zu 23 führt. Beim Behandeln mit Äthanol entstehen schliesslich die Urethane 21 und 24.

Experimenteller Teil

Allgemeines. – Die Smp. wurden im offenen Röhrchen bestimmt und sind nicht korrigiert. Alle Bruttoformeln sind durch Analysenresultate bestätigt, die innerhalb der Fehlergrenze ($\pm 0.3\%$) liegen. Die ¹H-NMR.-Spektren wurden auf *Varian*-A-60-, HA-100- und *Bruker*-HX-90-Geräten aufgenommen. Die chemischen Verschiebungen (δ -Skala) sind auf $ca. \pm 0.05$ ppm genau. Wegen Signalüberlappungen wurden die Spektren in Chloroform-d, Benzol-d₆, Pyridin-d₅ oder in Gemischen dieser Lösungsmittel, zum Teil unter Zusatz von EuFOD (*Aldrich*), aufgenommen. Die Kopplungskonstanten *J* sind auf $ca. \pm 0.5$ Hz genau.

5,9-Methano-6,7,8,9-tetrahydro-5H-benzocyclohepten-7-on-oxym (2). Eine Lösung von 48,5 g NH₂OH·HCl in 600 ml H₂O wird mit 28,0 g NaOH in 200 ml H₂O bei 5° versetzt. Dieser Lösung werden bei 5° unter Rühren 60,0 g Keton 1 zugegeben. Es wird langsam auf 100° erwärmt, noch 15 Min. gerührt, nach Abkühlen auf 5° noch einmal mit einer kalten NH₂OH-Lösung (48,5 g NH₂OH·HCl, 28,0 g NaOH) versetzt, 15 Min. bei 100° gerührt und wieder abgekühlt. Die ausgeschiedenen Kristalle werden abfültriert, mit H₂O gewaschen und getrocknet: 61,3 g (94%), Smp. 158–160° ([3]: 158–160°). C₁₂H₁₃NO.

5,9-Methano-6,7,8,9-tetrahydro-5H-benzocyclohepten-7endo-yl-amin (3a). 75,0 g Oxim 2 werden in 1500 ml EtOH und 1500 ml 2N NaOH gelöst. Dann wird unterhalb 60° portionenweise unter Rühren 115 g Raney-Legierung zugegeben. Nachdem die Temperatur wieder auf 30° gesunken ist, wird das EtOH abgedampft und der Rückstand mit Et₂O extrahiert. Trocknen über Na₂SO₄ und Eindampfen ergeben 68,1 g (98%) gelbes Öl, das ohne weitere Reinigung weiter eingesetzt werden kann. Smp. des Hydrochlorids: 243-245° (aus 2-Propanol/Et₂O). C₁₂H₁₅N·HCl.

5,9-Methano-6,7,8,9-tetrahydro-5H-benzocyclohepten-7exo-yl-amin (3b). 7,4 g LiAlH₄ werden in 200 ml THF vorgelegt und bei -10° mit 6 ml 96proz. Schwefelsäure versetzt. Nach 4 Std. Rühren

⁴⁾ Wir danken Grunewald, Ruth, Kroboth & Kamdar [14] für die freundliche Überlassung von NMR.-Spektren.

bei 20° wird dieser Suspension eine Lösung von 12,0 g Oxim 2 in 130 ml THF zugetropft. Das Gemisch wird über Nacht bei 20° gerührt und dann mit 70 ml ges. Na₂SO₄-Lösung bei – 10° versetzt. Es wird filtriert und der Rückstand mit MeOH gewaschen. Die vereinigten Filtrate werden eingedampft und der Rückstand zwischen 2n Weinsäure und Et₂O verteilt. Aus der Weinsäure-Lösung werden nach üblicher Methode 4,0 g (36%) Base isoliert, die laut NMR. aus einem (1:1)-Gemisch von 3b und 3a besteht. Behandlung mit ClCOOEt ergibt ein Gemisch der beiden isomeren Urethane, das durch fraktionierte Kristallisation aus Pentan aufgetrennt wird. Smp. des Urethans von 3b: 52-54°, Smp. des Urethans von 3a: 112-114°. Das Urethan von 3b wird zum Amin 3b verseift (vgl. Herstellung von 13). C₁₂H₁₅N.

 $(IR^*,2S^*,4S^*,I0R^*)-I0-Chlor-1,4-\ddot{a}thano-1,2,3,4-tetrahydronaphthyl-2-amin~(5).~1,2~g~Aziridin~4b~[3]~werden~in~15~ml~4n~HCl~10~Min.~unter~R\"uckfluss~erhitzt.~Die~erhaltene~wässerige~L\"osung~wird~mit~Et_2O~gewaschen~und~die~entstandene~Base~5~nach~\"ublichen~Methoden~freigesetzt:~1,1~g~\"oll,~welches~nach~Chromatographie~an~Kieselgel~mit~CH_2Cl_2/MeOH~99:1~0,7~g~(48%)~reine~Base~5~liefert,~die~aus~Pentan~kristallisiert:~Smp.~70-72°.~Cl_2H_14ClN.~NMR.~(in~C_6D_6/CDCl_3~4:1):~1,35~(H_{anti}-C(3));~1,8-2,15~(2~H-C(9),~H_{syn}-C(3));~2,60~(H-C(4));~2,80~(H-C(2));~2,96~(H-C(1));~3,85~(H-C(10)).~J~(H-C(1)/H-C(2))=2;~J~(H-C(1)/H-C(10))=2-3;~J~(H-C(2)/H_{syn}-C(3)):~nicht~bestimmt;~J~(H-C(2)/H_{anti}-C(3))=6;~J~(H-C(2)/H-C(10))=2-3~(Weitbereichskopplung);~J~(H_{syn}-C(3)/H_{-c(1)})=13;~J~(H_{syn}-C(3)/H-C(4))=2-3;~J~(H_{syn}-C(3)/H_{syn}-C(9))=2-3~(Weitbereichskopplung);~J~(H_{anti}-C(3)/H-C(4))=2;~J~(H-C(4)/H_{syn}-C(9))=2-3;~J~(H-C(4)/H_{anti}-C(9))=13;~J~(H_{syn}-C(9)/H-C(10))=10;~J~(H_{anti}-C(9)/H-C(10))=4.$

7exo-Phenyl-5,9-methano-6,7,8,9-tetrahydro-5H-benzocyclohepten-7endo-ol (6). Zum Grignard-Reagens aus 10,2 g Mg und 62,8 g Brombenzol in Et₂O wird bei Siedetemp. eine Lösung von 51,6 g Keton 1 in 300 ml Benzol getropft. Anschliessend wird noch 4 Std. bei 20° und dann 15 Std. bei 80° gerührt. Die abgekühlte Lösung wird mit 10proz. NH₄Cl-Lösung versetzt. Das Gemisch wird mit AcOEt extrahiert, die organische Phase mit H₂O und NaCl-Lösung gewaschen, über Na₂SO₄ getrocknet und eingedampft. Der kristalline Rückstand (68,3 g) wird aus EtOH umkristallisiert: 38,7 g 6, Smp. 157,5-159°. Durch Chromatographie an Kieselgel mit Toluol werden noch 4,0 g 6 aus der Mutterlauge gewonnen, was die Ausbeute auf 57% erhöht. C₁₈H₁₈O.

7-Phenyl-5,9-methano-8,9-dihydro-5H-benzocyclohepten (7). 42,0 g Alkohol 6 werden in 400 ml AcOH gelöst, mit 200 ml konz. Salzsäure versetzt und 2 Std. unter Rückfluss gekocht. Dann wird mit H₂O verdünnt, das ausgefallene Material in CH₂Cl₂ aufgenommen und die organische Phase mit 2 N NaOH und anschliessend mit NaCl-Lösung gewaschen. Trocknen und Eindampfen ergeben 43,0 g Öl, das mit Pentan zur Kristallisation gebracht wird: 33,8 g 7 (88%), Smp. 64-65°. C₁₈H₁₆.

7endo-Phenyl-6exo, 7exo-epoxy-5, 9-methano-6, 7, 8, 9-tetrahydro-5H-benzocyclohepten (8). 7,8 g Peressigsäure (46% in AcOH) und 0,13 g Natriumacetat werden vorgelegt und mit einer Lösung von 9,8 g Olefin 7 in 120 ml CH_2Cl_2 versetzt. Das Gemisch wird über Nacht bei 20° gerührt, dann mit H_2O und $NaHCO_3$ -Lösung gewaschen. Trocknen und Eindampfen der organischen Lösung ergeben ein gelbes Öl, das aus Pentan kristallisiert wird: 10.2 g 8 (97%), Smp. $72-74^{\circ}$. $C_{18}H_{16}O$.

7endo-Methylamino-7exo-phenyl-5,9-methano-6,7,8,9-tetrahydro-5H-benzocyclohepten-6exo-ol (9). 10,5 g Epoxyd 8, 100 ml einer 33proz. Lösung von Methylamin in EtOH und 35 ml H₂O werden 15 Std. im Autoklaven auf 150° erhitzt. Nach Eindampfen wird das Gemisch zwischen Et₂O und 2N HCl verteilt. Aus der Salzsäurephase wird nach üblichen Methoden 9,5 g braune Base isoliert, wovon das Hydrochlorid in 2-Propanol hergestellt wird. Das Salz von 9 kristallisiert durch Pentanzugabe: 8,4 g 9 · HCl, Smp. 234–235°. C₁₉H₂₁NO · HCl.

7endo-Methylamino-7exo-phenyl-5,9-methano-6,7,8,9-tetrahydro-5H-benzocyclohepten-6exo-yl-acetat (10). 0,65 g Base 9 in 2 ml Pyridin werden mit 2 ml Ac₂O bei 20° versetzt und 15 Std. gerührt. Nach üblichen Methoden werden 0,70 g (95%) 10 isoliert, Smp. 77-79°. $C_{21}H_{23}NO_2$. - NMR.(CDCl₃): -0,3 (br.s. NH); 1,5 (s, NCH₃); 1,6 (s, COCH₃); 3,3 (m, H-C(5) und H-C(9)); 5,25 (d, J=4, H-C(6)).

N-Äthoxycarbonyl-7-phenyl-5,9-methano-8,9-dihydro-5H-benzocyclohepten-8exo-yl-amin (12). 20,0 g Olefin 7 und 21,8 g I₂ werden in 300 ml CH₂Cl₂ gelöst und auf – 20° gekühlt. Dann werden portionenweise 22,0 g frisch hergestelltes AgNCO [15] unter Rühren zugegeben. Nach 3 Std. bei RT. wird das Gemisch filtriert und das Filtrat mit 200 ml EtOH versetzt. Diese Lösung wird 15 Std. unter Rückfluss gekocht und anschliessend eingedampft. Der Rückstand wird in CH₂Cl₂ gelöst, mit Na₂S₂O₃-Lösung gewaschen, getrocknet und eingedampft. Der Rückstand wird aus Et₂O/Pentan kristallisiert: 11,5 g 12 (42%), Smp. 159-161°. C₂₁H₂₁NO₂.

7-Phenyl-5, 9-methano-8, 9-dihydro-5H-benzocyclohepten-8exo-yl-amin (13). 72,0 g Urethan 12, 600 ml BuOH und 63,6 g KOH werden 5 Std. unter Inertatmosphäre auf 140° erhitzt. Das abgekühlte Gemisch wird zwischen Toluol und H₂O verteilt, die organische Phase mit 2N Weinsäure extrahiert und aus dieser sauren Lösung nach üblichen Methoden die Base 13 freigesetzt: 44,0 g (79%), Kristalle. Das in 2-Propanol hergestellte Hydrochlorid von 13 schmilzt bei 307-320° (Zers.). C₁₈H₁₇N·HCl.

N-Isopropyl-7-phenyl-5,9-methano-8,9-dihydro-5H-benzocyclohepten-8exo-yl-amin (14) und N-Isopropyl-7endo-phenyl-5,9-methano-6,7,8,9-tetrahydro-5H-benzocyclohepten-6exo-yl-amin (15). 15,0 g Amin 13 in 300 ml Aceton und 500 ml EtOH werden in Anwesenheit von 2,5 g PtO₂ bei Raumbedingungen hydriert. Nach 1 Std. 25 Min. sind 4000 ml H₂ aufgenommen worden. Die Hydrierung wird abgebrochen und das nach üblichen Methoden isolierte Hydrierungsprodukt wird in 2-Propanol mit 2-propanolischer Salzsäure in die Hydrochloride übergeführt: 10,0 g Salz (14 · HCl+15 · HCl), welche durch DC. auf Silicagel mit Toluol/EtOH/konz. Ammoniak 75:15:10 (dekantieren) analysiert werden: Rf (14) 0,67, Rf (15) 0,54.

Fraktioniertes Kristallisieren aus 2-Propanol/EtOH liefert eine erste Fraktion von 2,2 g (11%) 15 · HCl, Smp. 300° (Zers.), $C_{21}H_{25}N$ · HCl. - NMR. (Base in CDCl₃): 0,75, 1,06 und 2,80 ((CH₃)₂CH); 2,00 ($d \times t$, J = 11,5 und 4,5, H_{syn} -C(10)); 2,5 (d, J = 11,5, H_{anti} -C(10)); 3,1 (H-C(5) und H-C(9)).

Die zweite Fraktion von 7,5 g wird aus 2-Propanol umkristallisiert: 6,0 g 14 · HCl (30%), Smp. 256-258°, $C_{21}H_{23}N \cdot HCl.$ – NMR.(Base in CDCl₃): 1,03, 1,12 und 3,10 ((CH₃)₂CH); 2,26 ($d \times t$, J = 10 und 4, H_{syn} –C(10)); 2,33 (d, J = 10, H_{anti} –C(10)); 3,50 (H–C(5) und H–C(9)); 6,44 (d, J = 7, H–C(6)).

5,9-Methano-8,9-dihydro-5H-benzocyclohepten (17). 40,0 g Isomerengemisch 16 [6] werden in 60 ml HMPT 1,5 Std. unter Rückfluss (250°, Kühlrohr) gekocht. Nach Abkühlen der Lösung wird sie zwischen H₂O und Pentan verteilt. Die Pentan-Phase wird mit H₂O, 2N Weinsäure und dann mit 2N Na₂CO₃ gewaschen. Trocknen und Eindampfen liefern 35,0 g (97%) Öl, das ohne weitere Reinigung weiter verwendet wird. Eine Probe wird im Kugelrohr destilliert: Sdp. 75-80°/0,01 Torr. C₁₂H₁₂.

(IR*,2R*,4S*,10S*)-N-Äthoxycarbonyl-10-iod-1,4-äthano-1,2,3,4-tetrahydronaphthyl-2-amin und (IR*, 2S*, 4R*, 10S*)- N, N'-Di(äthoxycarbonyl)-1, 4-äthano-1, 2, 3, 4-tetrahydronaphthalin-2, 10-diamin $(24)^5$). 10,6 g Olefin 17 und 17,2 g I₂ werden in 250 ml CH₂Cl₂ gelöst und auf -20° gekühlt. Dann werden 17,3 g AgNCO [15] portionenweise unter Rühren zugegeben. Nachdem die Temp. auf 22° gestiegen ist, wird das Gemisch noch 3 Std. gerührt und dann filtriert. Das Filtrat wird mit 150 ml EtOH versetzt und weiterbehandelt wie für die Herstellung von 12 beschrieben: 19,6 g gelber Abdampfrückstand, der 21 und 24 enthält. Dieses Gemisch wird im DC. an Kieselgel mit Toluol/AcOEt 1:1 analysiert (Rf (21) 0,70, Rf (24) 0,47) und an einer Kieselgelsäule (200 g) chromatographiert. 0,5 g Ausgangsmaterial werden zuerst mit Toluol eluiert, dann 3,55 g kristallines 21 (14%) mit Toluol/AcOEt 19:1, gefolgt von 10,75 g kristallinem 24 (47%)6). 21 wird aus Pentan umkristallisiert: Smp. 119-121°, $C_{15}H_{18}INO_2$, 24 aus Toluol/Pentan: Smp. 139-141°, $C_{18}H_{24}N_2O_2$. - NMR. von 21 (CDCl₃): 2,2 (2 H-C(9)); 2,85 (H-C(4)); 3,27 (H-C(1)); 4,05 (H-C(10)). Die Trennung der Signale der C(9)-Protonen gelingt weitgehend in C_6D_6 : 0.75 ($H_{syn}-C(3)$); 1.62 ($H_{syn}-C(9)$); 1.79 ($H_{anti}-C(9)$); 3,61 (H-C(10)). Die C(9)-Protonen bilden mit H-C(10) ein ABX-Spinsystem, dessen A-Linien zu Tripletten $(J=2,5, \text{ mit } H-C(4) \text{ und } H_{syn}-C(3))$ und B-Linien zu Dubletten (J=2,5, mit H-C(4))weiter aufgespalten sind; $J_{AB} = 14$, $J_{AX} = 10$, $J_{BX} = 5.5$ Hz. $A = H_{syn} - C(9)$, $B = H_{anti} - C(9)$.

 $(1R^*,2S^*,4R^*,10S^*)$ -1,4-Åthano-1,2,3,4-tetrahydronaphthalin-2,10-diamin (25). 1,65 g Diurethan 24 werden in 40 ml BuOH mit 2,8 g KOH 5 Std. unter Rückfluss gekocht (Inertatmosphäre). Die Lösung wird mit Toluol verdünnt, mit H₂O gewaschen und mit 2n Weinsäure extrahiert. Das etwas wasserlösliche Diamin 25 wird nach üblichen Methoden isoliert (1,05 g) und in 2-Propanol in 1,0 g (77%) 25 · 2 HCl übergeführt: Smp. nach Umkristallisation aus 2-Propanol 230° (Zers.). C₁₂H₁₆N₂ · 2 HCl · NMR. von 25 (CDCl₃): 0,95 (H_{syn}-C(3)); 1,10 (H_{anti}-C(9)); 1,55 (2NH₂); 1,88 (H_{syn}-C(9)); 2,32 H_{anti}-C(3)); 2,77 (H-C(1)); 2,95 (H-C(4)); 3,02 (H_{syn}-C(10)); 3,66 (H_{anti}-C(2)). J (H-C(2)/H_{syn}-C(3))=4,4 (trans-Kopplung); J (H-C(2)/H_{anti}-C(3)=9,2 (cis-Kopplung); J (H_{syn}-C(3)/H_{syn}-C(3))=4,4 (trans-Kopplung); J (H-C(2)/H_{anti}-C(3)=9,2 (cis-Kopplung); J (H_{syn}-C(3)/H_{syn}-

Dr. H.H. Westen (ETH Zürich) hat liebenswürdigerweise die Nomenklatur für die sterischen Zusammenhänge von 24 abgeklärt. Diese Bezeichnung stützt sich auf die Arbeit von Cahn, Prelog & Ingold [16].

⁶⁾ Die Durchführung mehrerer Ansätze hat gezeigt, dass die Gesamtausbeute konstant bleibt, aber das Verhältnis 21:24 stark variieren kann.

 H_{anti} -C(3)=13,5; J (H_{syn} -C(3)/ H_{syn} -C(9))=3,2; J (H_{syn} -C(9)/ H_{anti} -C(9))=12,6; J (H_{syn} -C(9)/H-C(10))=10 (cis-Kopplung); J (H_{anti} -C(9)/H-C(10))=4,7 (trans-Kopplung).

(1R*,2R*,4R*)-N-Äthoxycarbonyl-1,4-äthano-1,2,3,4-tetrahydronaphthyl-2-amin (26). 1,1 g Iodderivat 21 werden in EtOH in Anwesenheit von 0,3 ml Et₃N und 1,1 g I0proz. Pd/C unter Raumbedingungen hydriert. Nach Filtrieren und Eindampfen des Filtrats wird der Rückstand zwischen H₂O und Et₂O verteilt. Nach üblichen Methoden werden 0,30 g (41%) Urethan 26 als Öl isoliert. - NMR. ((CD₃)₂SO): 1,10 (CO₂CH₂CH₃); 3,92 (CO₂CH₂CH₃); 6,18 (CONH); 7,10 (4 arom. H).

 $(1R^*,2R^*,4R^*)$ -N-Methyl-1,4-äthano-1,2,3,4-tetrahydronaphthyl-2-amin (27). Aus 0,20 g LiAlH₄ in 8 ml THF wird AlH₃ durch Zusatz von 0,15 g H₂SO₄ bei -10° hergestellt. Diesem Reagens wird eine Lösung von 0,20 g Urethan 26 zugegeben. Das Gemisch wird auf RT. gebracht und noch 4 Std. bei 20° gerührt. Nach üblichen Methoden und Reinigung durch Extraktion mit 2n Weinsäure werden 0,066 g Base 27 (43%) isoliert. - NMR. (CDCl₃): 0,9 (NH); 0,9-1,0 (H_{syn}-C(3)); 2,0-2,33 (H_{anti}-C(3)); 2,33 (NCH₃); 2,81-3,0 (H-C(2)); 3,0 (H-C(4)); 3,20 (H-C(1)); 7,2 (4 arom. H).

LITERATURVERZEICHNIS

- [1] P.T. Lansbury & E.J. Nienhouse, J. Amer. chem. Soc. 88, 4290 (1966); P.T. Lansbury, Accounts chem. Res. 5, 311 (1972).
- [2] B. L. Shapiro, M. J. Gattuso & G. R. Sullivan, Tetrahedron Letters 1971, 223.
- [3] K. Kitahonoki, Y. Takano, A. Matsuura & K. Kotera, Tetrahedron 25, 335 (1969).
- [4] B. Franzus, W.C. Baird Jr., N.F. Chamberlain, T. Hines & E.I. Snyder, J. Amer. chem. Soc. 90, 3721 (1968); A. P. Marchand & J. E. Rose, ibid. 90, 3724 (1968).
- [5] M. Barfield & B. Chakrabarti, Chem. Rev. 69, 757 (1969).
- [6] P. T. Lansbury & N. T. Boggs, Chem. Commun. 1967, 1007.
- [7] S.J. Christol, F.P. Parungo, D.E. Plorde & K. Schwarzenbach, J. Amer. chem. Soc. 87, 2879 (1965); S.J. Christol, R.J. Bopp & A.E. Johnson, J. org. Chemistry 34, 3574 (1969).
- [8] A.A. Bobyleva, A.N. Kalinichenko, N.A. Belikova, S.I. Korol'kov, N.F. Dubitskaya & A.F. Platé, J. org. Chemistry USSR 10, 1897 (1974).
- [9] A. Fürst & P.A. Plattner, Abstr. Papers 12th Intern. Congress on Pure and Applied Chem., New York 1951, S.409; A. Fürst & P.A. Plattner, Helv. 32, 275 (1949); S.J. Angyal, Chemistry & Ind. 1954, 1230; J. B. Buchanan & H. Z. Sable, 'Stereoselective Epoxide Cleavages', in 'Selective Organic Transformations', Editor B.S. Thyagorajan, Wiley-Interscience 1972, Vol. 2, S. 1.
- [10] A. Hassner, M.E. Lorber & C. Heathcock, J. org. Chemistry 32, 540 (1967); A. Hassner, R.P. Hoblitt, C. Heathcock, J. E. Kropp & M. E. Lorber, J. Amer. chem. Soc. 92, 1326 (1970); A. Hassner & C. Heathcock, Org. Synth. 51, 112 (1971).
- [11] H.P. Weber & T.J. Petcher, Helv. 61, 657 (1978).
- [12] C.K. Fay, J.B. Grutzner, L.F. Johnson, S. Sternhell & P.W. Westerman, J. org. Chemistry 38, 3122 (1973).
- [13] K. Kitahonoki, Y. Takano & H. Takahashi, Tetrahedron 24, 4605 (1968).
- [14] C.L. Grunewald, J.A. Ruth, T.R. Kroboth & B.V. Kamdar, Abstracts of Papers, 169th ACS National Meeting, Philadelphia 7.–10.4.1975, MEDI No.56.
- [15] A. Hassner & C. Heathcock, J. org. Chemistry 30, 1751 (1965), Fussnote 20.
- [16] R.S. Cahn, C. Ingold & V. Prelog, Angew. Chem. 78, 413 (1966) (speziell ab S. 425 und Beispiel (30)).